

شبیه‌سازی رفتار گهواره‌ای مقید برای ستون‌های بتی مسلح به میلگرد ساده تحت بار افزاینده‌ی جانبی

محمد عرب پناهان^۱, محمد صادق معرفت^۲, محمد خان محمدی^۳

دانشکده‌ی مهندسی عمران، پردیس دانشکده‌های فنی دانشگاه تهران

arabpanahan@yahoo.com
mmarefa@ut.ac.ir
mkhan@ut.ac.ir

خلاصه

ساختمان‌های بتی مسلح به میلگرد ساده، یکی از انواع ساختمان‌های قدریمی باشند که عموماً برای تقاضاهای ثقلی طراحی شده‌اند. در ستون‌های بتی با میلگرد ساده که تحت اثر بار جانبی قرار دارند، لغزش قابل توجه میلگرد در بن، باعث بروز رفتار گهواره‌ای مقید می‌شود. به دلیل شکل‌گیری این مود رفتاری، تا قبل از دریافت فروریزش، خروج از مرکزیت بار محوری در ستون‌ها باعث افزایش پایداری و مقاومت جانبی ستون می‌گردد. در این مقاله مود رفتاری گهواره‌ای مقید برای این نوع ستون‌ها در محیط MATLAB مدل‌سازی و اثر آن روی تغییر مکان جانبی با مدنظر قرار دادن سه جزء اصلی آن یعنی لغزش، خمش و برش در نظر گرفته شده است. رفتار خمشی با توسعه‌ی یک مدل مبتنی بر مفصل پلاستیک و رفتار لغزشی با استفاده از یک مدل تحلیلی کالیبره شده بر اساس آزمایش‌های بیرون‌کشیدگی شبیه‌سازی گردیده‌اند. در نهایت مدل تئوریک با نتایج آزمایشگاهی مقایسه و معترض‌سازی شده‌اند.

کلمات کلیدی: ستون، میلگرد ساده، رفتار گهواره‌ای مقید، لغزش

۱. مقدمه

یکی از انواع ساختمان‌های بتن آرمه‌ی موجود، ساختمان‌های بتی مسلح به میلگرد ساده می‌باشند که عمده‌تاً پیش از سال ۱۹۷۰ مرسوم بوده‌اند. با توجه به اثبات آسیب‌پذیری آنها، تقاضا برای ارزیابی لرزه‌ای و بهسازی اینگونه سازه‌ها رشد قابل توجهی داشته و رفتار مکانیکی آنها مرکز توجه بسیاری از محققین واقع شده است.

از آنجاییکه ستون‌ها مهمترین اعضا در سازه‌های قابی شکل می‌باشند شناخت رفتار آنها در پیش‌بینی شکل‌پذیری، مقاومت، سختی و انرژی‌پذیری سازه تأثیر بسزایی خواهد داشت. با توجه به کمبود آزمایش‌های صورت گرفته بر روی ستون‌های بتی مسلح به میلگرد ساده، پیش از ارزیابی رفتاری، لازم است که مدلی عددی با توجه به خصوصیات فیزیکی و مشاهدات آزمایشگاهی به جهت شناخت رفتار لرزه‌ای حاکم بر این نوع ستون‌ها تدوین گردد.

مطالعات اولیه‌ی انجام شده بر این نوع از سازه‌ها، بیشتر پیرامون پیوستگی میلگرد ساده و بن بوده‌اند. شروع جدی تحقیقات آزمایشگاهی بر روی پیوستگی بین بن و میلگرد ساده را می‌توان به آبرامز^۴ [۱] نسبت داد. وی با انجام آزمایش‌های بیرون‌کشیدگی^۵ روی نمونه‌های مختلف، دریافت که نیروی پیوستگی تا قبل از رخداد لغزش از طریق مکانیزم چسبندگی و بعد از آن به وسیله‌ی عملکرد اصطکاکی بین بن و میلگرد صورت می‌پذیرد.

^۱ دانشجوی کارشناسی ارشد مهندسی زلزله در دانشگاه تهران

^۲ استاد دانشکده مهندسی عمران دانشگاه تهران

^۳ استادیار دانشکده مهندسی عمران دانشگاه تهران

^۴ Abrams

^۵ Pullout

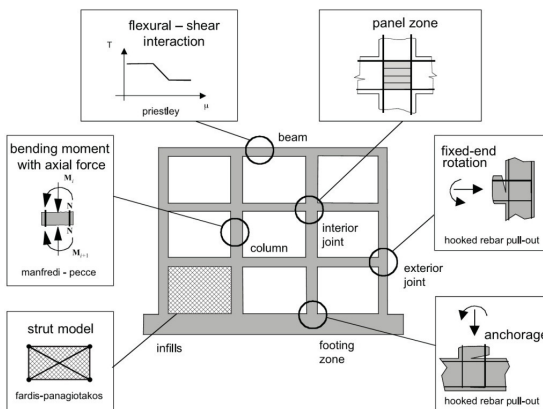
دسته‌ی دیگر از مطالعات، مربوط به شناخت رفتار اعضای بتنی با میلگرد ساده می‌باشد. معرفت و همکاران [۲] با آزمایش‌هایی روی تیرهای بتنی مسلح به میلگرد ساده مشاهداتی همچون لغزش زیاد میلگرد‌های طولی، بلندشدن گی مشهود نمونه از روی فنداسیون، ظرفیت تغییرمکانی پایین و بازشدگی ترک پای نمونه را گزارش دادند.

وردرامه^۱ و همکاران [۳] با تمرکز روی چرخش انتهای گیردار ستون‌های مستطیلی بتنی مسلح به میلگرد ساده ادعا نمودند که مهمترین منع تغییر مکان در این نوع ستون‌ها لغزش می‌باشد، به طوریکه چرخش در انتهای متصل به فنداسیون غالب بوده و حدود ۹۰٪ از چرخش وتری کل ستون در لحظه‌ی فروریزش^۲ را تشکیل می‌دهد.

آرانی و همکاران [۴] با انجام مطالعه‌ی جامع آزمایشگاهی بر روی رفتار ستون‌های بتنی مسلح به میلگرد ساده دریافتند که مود رفتار جانی ستون‌های بتنی مسلح به میلگرد ساده، مود گهواره‌ای مقید می‌باشد که مستقل از نوع وصله میلگرد طولی است. متأسفانه، مدلسازی تحلیلی و عددی روی این دسته از ستون‌ها در ادبیات فنی بسیار کم می‌باشدند، در حالیکه، نیاز به این مدلسازی‌ها به علت محدود بودن شرایط و نمونه‌های آزمایشگاهی رو به افزایش است. بنابراین یک مدل عددی در محیط برنامه‌نویسی ملب تدوین گردیده است که در آن سعی شده که لغزش میلگرد در بتن ناشی از ازدیاد طول و جابجایی انتهایی مدنظر قرار گرفته و با توجه به بلندشدن گی مشهود ستون از پی، اثر خروج از مرکزیت بار محوری بر مقاومت در مدل گنجانده شود. درنهایت پس از صحبت‌سنگی، مدل عددی برای پیش‌بینی رفتار غیرخطی (رفتار گهواره‌ای مقید) این دسته از اعضا قابل استفاده است.

۲. تدوین مدل عددی

برای سازه‌های بتن‌آرمه که تحت زلزله‌های متوسط تا شدید واقع می‌شوند، حصول پاسخ حقیقی سازه‌ای و همچنین برآورد خسارت وابسته به آن، نیازمند مدل‌نمودن دقیق تغییرمکان‌های غیرالاستیک موضعی است که در نواحی انتهایی اعضا رخ می‌دهند. مهمترین منابع این تغییرمکان‌ها شامل خمش و چرخش انتهای گیردار عضو می‌باشند. شکل ۱ اعضا و نواحی بحرانی آنها در اثر ورود بار جانبی را در یک قاب بتنی مسلح موجود نشان می‌دهد.



شکل ۱: اعضا و نواحی بحرانی در یک قاب بتن‌آرمه و نحوه مدل نمودن آنها

در ادامه به منظور بررسی یکی از مهمترین منابع تغییرمکانی افقی در سازه‌های بتنی مسلح به میلگرد ساده، رفتار ستون‌های طبقه‌ی همکف مورد مدلسازی واقع می‌شود. با توجه به اجزای تغییرمکانی این اعضا تحت بار جانبی که، خمش، لغزش و برش می‌باشند اجزای رفتاری نیز بر همین اساس در مدلسازی مدنظر قرار می‌گیرند.

۲-۱- مدلسازی رفتار خمشی

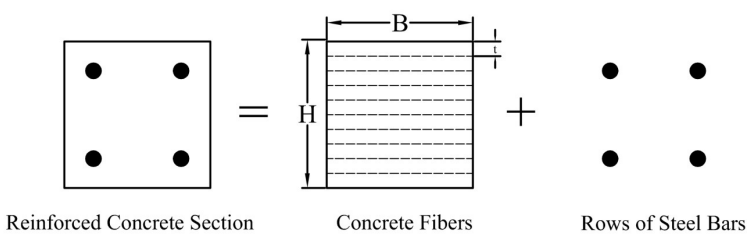
¹ Verderame et al., 2008a

² Collapse

مدلسازی خمی عضو (ستون) در الگوریتم، با تدوین لایه‌های^۱ یکطرفه برای مصالح بتن و همچنین ردیف‌های برای آرماتورهای مقطع صورت پذیرفته است. در حل خمی، فرض سازگاری کرنشی بین بتن و آرماتور طولی برقرار می‌باشد. در مجموع، ورودی مدل‌سازی عددی، رفتار مصالح بر حسب تنش-کرنش بوده و خروجی مدل، منحنی‌های رفتار جانبی المان ستون بر حسب برش پایه-تغییر مکان جانبی می‌باشند. در ادامه، مراحل مدل‌سازی خمی المان ستون که منتجه به تغییر مکان جانبی ناشی از خمش و همچنین لنگر مقاوم خمی مقطع پای سton می‌شوند، به ترتیب ارائه می‌گردد.

۲-۱-۱- مدل‌سازی مصالح: در این مرحله، مدل رفتار یکطرفه بتن و فولاد به برنامه معرفی می‌شود.

۲-۱-۲- تقسیم مقطع بتی به لایه‌ها: در ورودی برنامه، تعداد لایه‌های مطلوب از کاربر خواسته می‌شود که بسته به دقت دلخواه، می‌تواند وارد گردد.

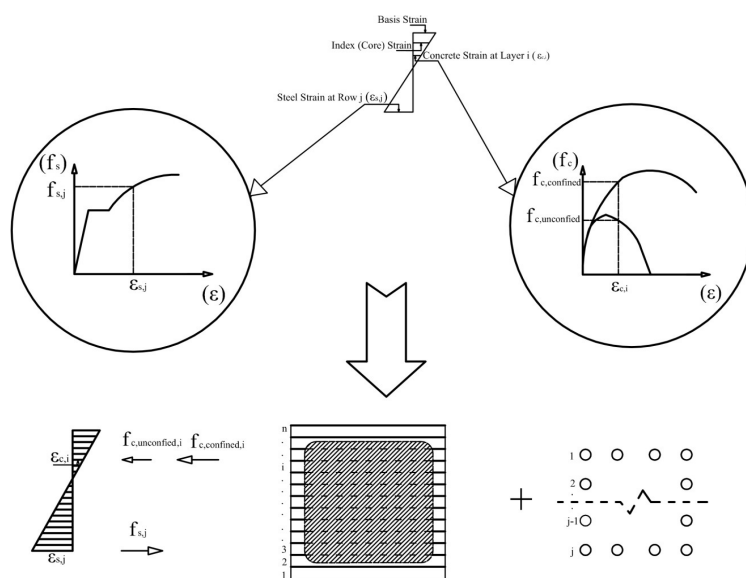


شکل ۲: مفهوم مدل‌سازی مصالح به عنوان ورودی مدل کلی

۲-۱-۳- انتخاب کرنش تار مینا (ε_{Basis}): این کرنش، همان کرنش در دورترین تار فشاری بتن می‌باشد.

۲-۱-۴- بدستآوردن توزیع کرنش: با داشتن کرنش مینا و فرض یک مقدار دلخواه برای ارتفاع تار خنثی، توزیع کرنش در مقطع پای ستون حاصل می‌گردد.

۲-۱-۵- بدستآوردن نیروهای داخلی متناظر به توزیع کرنش مفروض در مقطع: مطابق با شکل ۳ و از روی مدل مصالح به دست می‌آیند.



شکل ۳: روند حصول نیروهای داخلی برای یک رشته‌ی نمونه (آم) و همچنین یک ردیف میلگرد نمونه (پاییترین ردیف)

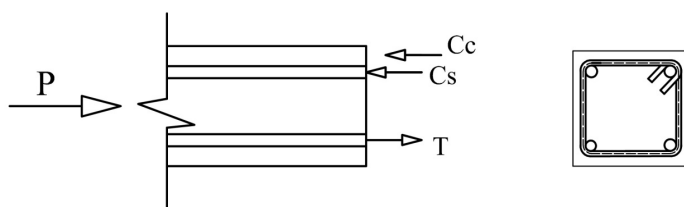
¹ Layers

در شکل ۳ نیروی بتن فشاری، $f_{c,confined,i}$ و $f_{c,unconfined,i}$ به ترتیب تنش فشاری بتن غیر محصور (پوشش) و تنش فشاری بتن محصور در رشته‌ی C_s نیروی وارد بر آرماتورهای فشاری مقطع، T نیروی وارد بر میلگردهای کششی مقطع و $f_{s,j}$ تنش کششی وارد بر آرمین ردیف از میلگردهای کششی می‌باشد.

۶-۱-۲-برقراری تعادل نیرویی: تعادل در مقطع پای ستون در هر حلقه توسط رابطه‌ی زیر کنترل می‌شود:

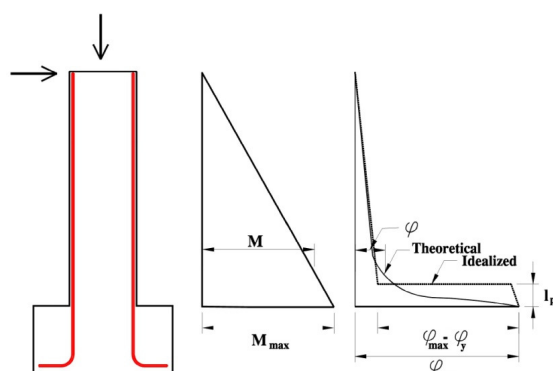
$$C_c + C_s - T - P < Error \quad (1)$$

در رابطه‌ی فوق، P و T به ترتیب، نیروی بتن فشاری مقطع، نیروی آرماتورهای فشاری مقطع، نیروی آرماتورهای کششی مقطع و نیروی محوری اعمالی به ستون می‌باشند (شکل ۴). همچنین $Error$ نیز همان خطای مجاز در رابطه‌ی برقراری تعادل بوده و برابر با $\frac{f_c}{A_g} A_g$ است (۵). میزان ضریب دلخواه برابر با 0.0001 می‌باشد.



شکل ۴: نمایش مقطع و نیروهای داخلی و خارجی مؤثر بر آن

۶-۱-۲-محاسبه‌ی تغییر مکان خمی جانبی: برای حصول تغییر مکان خمی ستون تک انحنایی تحت بار جانبی خواص پلاستیسیته در ناحیه‌ای احتمالی به طول مشخص (مفصل پلاستیک مت مرکز)، از انتهای گیردار ستون به سمت بالا مت مرکز می‌شود (شکل ۵).



شکل ۵: مدل مبتنی بر مفصل پلاستیک برای رفتار خمی ستون طره (تک انحنایی) [۵]

این تغییر مکان به شرح زیر به دست می‌آیند [۶].

$$\Delta_f = \frac{\varphi L^2}{3} \quad \text{for } \varphi < \varphi_y \quad (2)$$

$$\Delta_f = \frac{\varphi_y L^2}{3} + (\varphi - \varphi_y) 0.5 L_p (L - 0.5 L_p) \quad \text{for } \varphi > \varphi_y \quad (3)$$

در روابط فوق Δ تغییر مکان جانبی ناشی از خمش، φ انحنای در مقطع پای ستون، φ_f انحنای نظیر به تسیم خمشی در مقطع پای ستون، L دهانه برشی عضو (فاصله اعمال بار جانبی و سطح بی) و L_p طول ناحیه پلاستیک خمشی ستون است که برابر با H در نظر گرفته شده است.

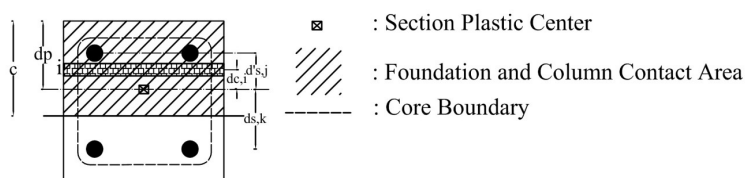
در مورد ستون‌ها با میلگرد ساده، چرخش انتهای گیردار ستون^(۱) (FER) به بلندشدن گی مشهود ستون از پی در فصل مشترک آنها خواهد انجامید. بنابراین در این نوع از نمونه‌ها، مرکز پلاستیک باید برای سطح تماسی ستون و پی محاسبه شود که در تاریخچه رفتار جانبی ستون متغیر است. در حل مقطع تماسی ستون و پی فرض می‌شود که عمق تماسی ستون و پی بازی هر دریفت دلخواه برابر با ارتفاع تار خنثی باشد ($d_{contact} = c$) (سزن^(۲) و سترلر^(۳) [۷]). در این رابطه، $d_{contact}$ عمق تماسی بلوک بتنی ستون و پی بوده و C ارتفاع تار خنثی می‌باشد.

$$d_p = \frac{c b f_c x_c + A_s f_y d' + A_s f_y d}{c b f_c + A_s f_y + A_s f_y} \quad (4)$$

در رابطه فوق، d_p ارتفاع مرکز پلاستیک از دورترین تار فشاری مقطع، x_c پهنای مقطع، b مرکز هندسی ناحیه مستطیلی تماسی ستون و f_c به ترتیب مقاومت فشاری بتن و مقاومت تسیم آرماتورهای طولی، A_s و A_s' به ترتیب سطح مقطع آرماتورهای فشاری و کششی مقطع و d' نیز به ترتیب، فاصله مرکز آرماتورهای فشاری و کششی از دورترین تار فشاری بتن می‌باشد. لنگر مقاوم سطح تماسی از رابطه می‌آید:

$$\begin{aligned} M_{contact} &= \sum_{i=1}^m f_{c,unconfined,i} A_{c,unconfined,i} dc_i + \sum_{i=1}^m f_{c,confined,i} A_{c,confined,i} dc_i \\ &+ \sum_{j=1}^n f_{s,j} A_{s,j} ds_j + \sum_{k=1}^n f_{s,k} A_{s,k} ds_k \end{aligned} \quad (5)$$

در رابطه فوق $M_{contact}$ لنگر مقاوم مماسی m تعداد رشته‌های بتنی در مقطع، $A_{c,confined,i}$ و $A_{c,unconfined,i}$ به ترتیب سطح مقطع بتن غیر محصور (پوشش) و بتن محصور در رشته‌ی نام، n و n' به ترتیب تعداد ردیف‌های آرماتورهای کششی می‌باشد. همچنین مطابق شکل ۶، فاصله مرکز رشته‌ی بتنی دلخواه i تا مرکز پلاستیک مقطع، d_s فاصله مرکز آرماتورهای فشاری ردیف j تا مرکز پلاستیک و ds_k فاصله مرکز آرماتورهای کششی ردیف k تا مرکز پلاستیک مقطع می‌باشد. بقیه پارامترهای فرمول فوق قبلًا تعریف گردیده‌اند.



شکل ۶: معرفی بازوهای لنگری نیروهای داخلی نسبت به مرکز پلاستیک برای مقطع تماسی ستون با میلگرد ساده

۲-۲- مدل‌سازی رفتار لغزشی

مدل‌سازی لغزشی میلگرد ساده در بتن مطابق شکل شامل دو بخش عمده می‌باشد:

۱- مدل‌سازی رفتار پیوستگی بین بتن و میلگرد ساده

۲- مدل‌سازی رفتار مهار انتهایی میلگرد (فلاب در صورت وجود)

به منظور تخمین رفتار لغزشی ستون بتنی مسلح به میلگرد ساده، لازم است تا مدل‌هایی برای هر دو نوع رفتار پیوستگی و قلاب، معرفی شود.

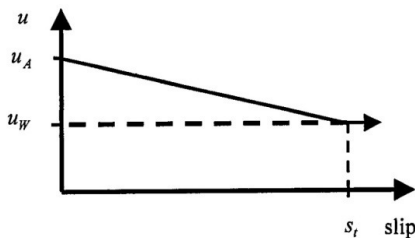
1 Fixed End Rotation

2 Sezen

3 Setzler

۱-۲-۲- مدل‌سازی رفتار پیوستگی

به منظور مدل‌سازی رفتار پیوستگی، از مدل پیشنهادی فلدمن [۸] استفاده می‌شود.



شکل ۷- مدل خطی رفتار پیوستگی میلگرد ساده در بتون [۸]

$$S_{relative} = \int_0^{L_{bar}} \frac{T(x)dx}{E_{sl}A_{sl}} \quad (6)$$

در رابطه‌ی فوق، A_{sl} سطح مقطع بزرگترین میلگرد کششی در دورترین ردیف نسبت به بالاترین تارفشاری مقطع می‌باشد. به منظور حصول لغزش ناشی از ازدیاد طول در فاز پلاستیک میلگرد ساده، فرض می‌شود که رفتار مصالح فولاد دوخطی است. (تا نقطه‌ی تسليم با مدول الاستیستیه‌ی E_{s1} و از نقطه‌ی تسليم تا نقطه‌ی نهایی با مدول پلاستیسیته‌ی E_{s2}) توزیع نیروی داخلی میلگرد است. با این فرض، لغزش ناشی از ازدیاد طول، در ناحیه‌ی پلاستیک فولاد، از رابطه‌ی زیر به دست می‌آید:

$$S_{relative} = \int_0^{L_{bar,plastic}} \frac{(T(x) - F_{ext,y})dx}{E_{s2}A_{sl}} + \int_0^{L_{bar,plastic}} \frac{(F_{ext,y} - F_{bond}(x))dx}{E_{s1}A_{sl}} + \int_{L_{bar,plastic}}^{L_{bar}} \frac{T(x)dx}{E_{s1}A_{sl}} \quad (7)$$

در رابطه‌ی بالا، $L_{bar,plastic}$ طولی از آرماتور کششی می‌باشد که وارد ناحیه‌ی پلاستیک شده‌است. F_{ext} نیروی مقاوم ناشی از پیوستگی است. همچنین $f_y A_{sl}$ برابر است با $f_y f_{y,A_{sl}}$ تنش تسليم میلگرد کششی است.

۱-۲-۲-۳- مدل‌سازی رفتار مهار انتهایی

نقش شبه‌تکیه‌گاهی قلاب برای طول مستقیم میلگرد سبب می‌شود که نیروی خارجی کششی وارد بر میلگرد (در محل تماس ستون با پی) تا پیش از رسیدن قلاب به حالت حدی نهایی (گسیختگی نهایی قلاب) کنترل نشود. مدل رفتاری زیر که توسط محققین قبلی برای رفتار قلاب میلگرد ساده ارائه شده‌است در این مقاله استفاده می‌شود [۹]:

$$f_{s,hook} = f_{su} \cdot \left(\frac{s_{hook}}{3.9} \right)^{0.3} \quad (8)$$

در رابطه‌ی فوق $f_{s,hook}$ و f_{su} به ترتیب تنش در نقطه‌ی شروع انحنای قلاب و مقاومت نهایی میلگرد (بر حسب MPa) بوده و s_{hook} میزان لغزش در قلاب (بر حسب mm) می‌باشد.

۱-۲-۳-۲- مدل‌سازی رفتار لغزشی کلی

روشن است که لغزش کلی میلگرد ستون ($S_{element}$) و پی ($S_{footing}$) ناشی از دو عامل می‌باشد: ۱- لغزش حاصل از ازدیاد طول در نتیجه‌ی پوآسون. ۲- لغزش حاصل از جابجایی انتهایی مهارشده‌ی میلگرد کششی ($S_{element,end}$ و $S_{footing,end}$). $S_{element,relative}$ و $S_{footing,relative}$ منفی.

$$S_{element} = S_{element,relative} + S_{element,end} \quad (9)$$

$$s_{footing} = s_{footing,relative} + s_{footing,end} \quad (10)$$

و به عنوان نتیجه، لغزش کلی از رابطه‌ی ۱۱ به دست می‌آید:

$$s_{total} = s_{footing} + s_{element} \quad (11)$$

با داشتن میزان بازشدگی ترک پایه، تغییر مکان جانبی ناشی از لغزش مطابق رابطه‌ی زیر به دست می‌آید [۷]:

$$\Delta_s = \frac{s_{total}}{d - c} \quad (12)$$

در رابطه‌ی فوق، Δ تغییر مکان جانبی ناشی از لغزش میلگرد، d عمق مؤثر مقطع پای ستون و C ارتفاع تار خنثی می‌باشد.

۲-۳-۱- اثر خروج از مرکزیت بار محوری در ستون‌های بتون مسلح به میلگرد ساده

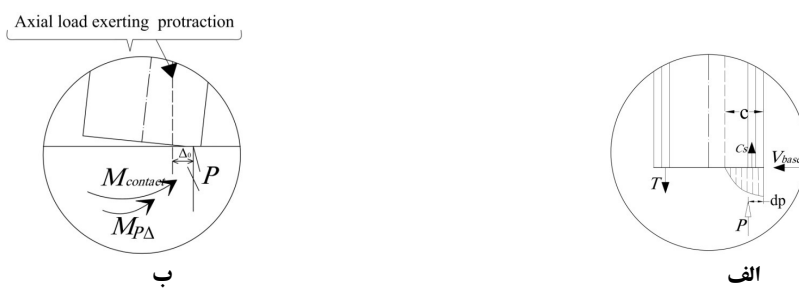
در مورد ستون‌های بتون مسلح به میلگرد ساده، به دلیل بلندشدگی مشهود ستون از پی و خروج از مرکزیت بار محوری، مود گهواره‌ای مقید رخ می‌دهد. اثرات این مود روی تغییر مکان و مقاومت جانبی ستون به شرح زیر است.

۲-۳-۲- اثر روی تغییر مکان

تغییر مکان افقی ناشی از بازشدگی ترک پای نمونه، نتیجه‌ی تأثیر مود گهواره‌ای مقید روی تغییر مکان جانبی ستون تک‌انحنایی است که در بند قبل، مطرح گردید.

۲-۳-۳- اثر روی مقاومت

اثر مود گهواره‌ای روی مقاومت با درنظر گرفتن اثر خروج از مرکزیت بار محوری بررسی می‌شود. در مورد ستونها با میلگرد آجادار، از آنجاییکه خمین یا برش، مدد حاکم رفتاری می‌باشند، نقطه‌ی تأثیر واکنش نیروی محوری در پای ستون تقریباً ثابت بوده و منطبق بر نقطه‌ی تقاطع محور ستون و سطح پی می‌باشد. بنابراین با داشتن یک نقطه‌ی تأثیر ثابت برای واکنش نیروی محوری ثابت و همچنین افزوده شدن به تغییر مکان جانبی در نقطه‌ی شاخص، از مقاومت خمی مقطع پای ستون کاسته خواهد شد. اما در نمونه‌هایی که مسلح به میلگرد ساده هستند به علت تغییر در عمق تماسی ستون و پی در رابطه‌ی $P - \Delta$ که $\Delta = \Delta_0$ فاصله‌ی افقی بین نقطه‌ی اعمال بار محوری و نقطه‌ی تأثیر واکنش بار محوری در پای ستون است. بنابراین Δ_0 دارای مبنای ثابتی نخواهد بود (شکل ۸).

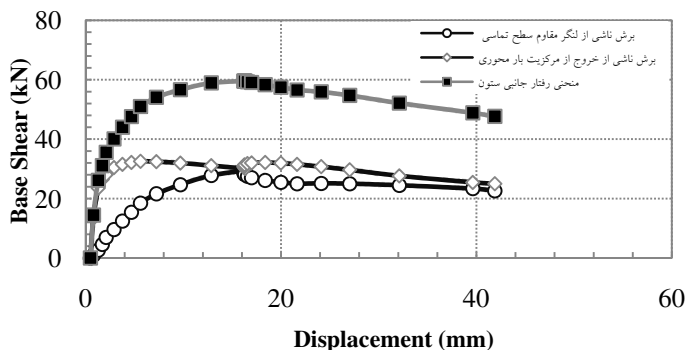


شکل ۸: عملکرد متفاوت خروج از مرکزیت نیروی محوری و تأثیر آن بر لنگر مقاوم مقطع

شکل ۹ نشان‌دهنده‌ی اجزای مقاومتی یک المان با رفتار گهواره‌ای مقید تحت بار جانبی می‌باشد.

۵-۲- مدل‌سازی رفتار برشی

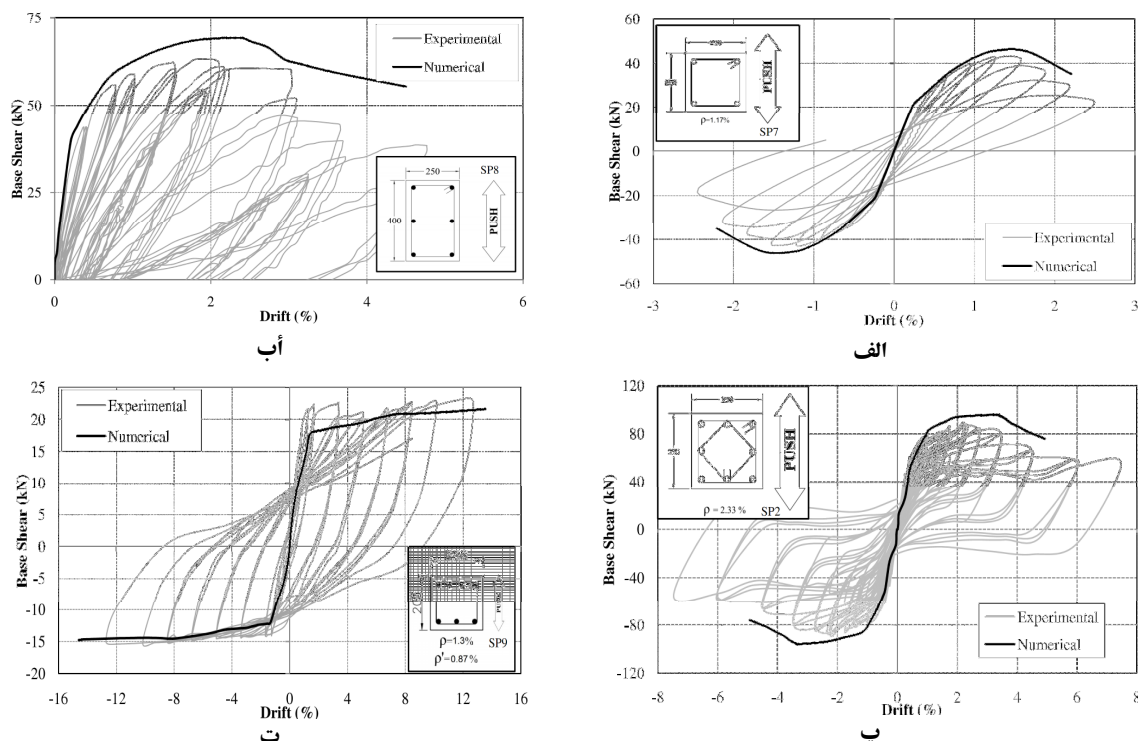
مطابق آزمایش‌های انجام شده سهم برش در تغییر مکان کلی بسیار اندازه می‌باشد. سهم تغییر مکان برشی به طور متوسط ۵٪ مجموع تغییر مکان‌های ناشی از لغزش و خمین در نظر گرفته می‌شود.



شکل ۹: اجزای مقاومتی در منحنی رفتار گهواره‌ای مقید برای یک ستون بتونی با میلگرد ساده

۳. صحت‌سنجی مدل عددی

به منظور اینکه مدل عددی برای پیش‌بینی رفتار لرزه‌ای ستون‌های بتونی مسلح به میلگرد ساده استفاده شود، لازم است تا خروجی آن با رفتار واقعی این دسته از ستون‌ها (حاصل از تست‌های آزمایشگاهی) مقایسه و تأیید گردد. به همین منظور سه نمونه ستون و یک نمونه تیر برای اعتبارسنجی مدل عددی مورد استفاده قرار گرفته‌اند (نتایج آزمایشی به ترتیب از منابع [۱۰]، [۱۱]، [۱۲] و [۱۳] برگرفته شده‌اند).



شکل ۱۰: صحت‌سنجی مدل عددی با منحنی‌های رفتاری آزمایشی ستون (الف، ب و ج) و تیر (ت)

۴. نتیجه‌گیری

توسعه‌ی مدل رفتاری ستون‌های بتونی مسلح به میلگرد ساده، بر اساس اجزای تغییرمکانی ستون و با هدف کمی‌سازی فیزیک رفتاری صورت گرفت. رفتار خمی با توسعه‌ی یک مدل مبتنی بر مفصل پلاستیک و با درنظر گرفتن تغییرات مرکز پلاستیک مقطع مدل شد. مدل رفتار لغزشی نیز هم در ستون

و هم در پی با درنظر گرفتن لغزش ناشی از زوال مقاومت پیوستگی بین بتن و میلگرد کششی و همچنین لغزش انتهای بارگذاری نشده آن صورت پذیرفت. در هر مرحله از حل خمی مقاطع پا، عمق تماسی متناسب با انحنای مقاطع تغییر می کند که این منجر به عملکرد متفاوت P-Δ شده که به حاکم شدن مود گهواره‌ای مقييد منتهي می شود. با مقایسه نتایج حاصل از مدل عددی و مدل آزمایشگاهی روشن شد که مدل عددی قادر به پيش‌بياني رفتار گهواره‌اي مقييد برای ستون‌های بتنی با ميلگرد ساده و همچنین رفتار جانبي برای تيرهای بتنی با اين ميلگردهای تسلیح می باشد.

۵. مراجع

1. Abrams, D. A., (1913). "Tests of bond between concrete and steel". *University of Illinois Bulletin*, No. 71.
2. Marefat, M. S., Shirazi, S. M. H., Rostamshirazi, R. and Khanmohammadi, M. 2009. "Cyclic response of concrete beams reinforced by plain bars". *Journal of Earthquake Engineering*, **13**, 463-481.
3. Verderame, G. M., Fabbrocino, G. and Manfredi, G., (2008a). "Seismic response of RC columns with smooth reinforcement part I: Monotonic tests". *Engineering Structures*, **30**, 2277-2288.
4. Arani, K. K., Marefat, M. S., Amrollahi-Bucky, A. and Khanmohammadi, M., (2010). "Experimental seismic evaluation of old concrete columns reinforced by plain bars". *The Structural Design of Tall and Special Buildings*.
5. Lehman, D. E. and Moehle, J. P., (2000). "Seismic performance of well confined concrete bridge columns". Pacific Earthquake Engineering Research Center. Berkeley: *University of California*.
6. Paulay, T. and Priestly, M. N. J., (1992). "Seismic Design of Reinforced Concrete and Masonary Buildings", New Yorks, John Wiley and Sons.
7. Sezen, H. and Setzler, E. J., (2008). "Reinforcement slip in reinforced concrete columns". *ACI Structural Journal*, **105**, 280-289.
8. Feldman, L. R., (2006). "Bond of plain steel reinforcement in concrete". Ph. D dissertation, University of Western Ontario, London, Ontario.
9. Fabbrocino , G., Verderame, G. M., Manfredi, G. and Cosenza, E. 2004. "Structural models of critical regions in old-type R.C. frames with smooth rebars". *Engineering Structures*, **26**, 2137-2148.
10. Bousias, S., Spathis, A.-L. and Fardis, M. N., (2007). "Seismic retrofitting of columns with lap spliced smooth bars through FRP or concrete jackets". *Journal of Earthquake Engineering*, **11**, 653-674.
11. Yalcin, C., Kaya, O. and Sinangil, M., (2006). "Seismic retrofitting of R/C columns having plain rebars using CFRP sheets for improved strength and ductility". *Construction and Building Materials*, **22**, 295-307.

۱۲. حسن‌زاده شیرازی، سید مسعود، ۱۳۸۴، "بررسی آزمایشگاهی رفتار لرزه‌ای و آسیب پذیری ستون‌های ساختمانهای قدیمی بتنی مسلح به میلگرد ساده"، پایان‌نامه‌ی کارشناسی ارشد، دانشگاه تهران، دانشکده‌ی فنی.